

Das Erdbeben in Italien vom 26. September 1997

Thomas Wenk, Alessandro Dazio, Paul Hertelendy, David Zimmerli

Ein Erkundungsteam der Schweizer Gesellschaft für Erdbebeningenieurwesen und Baudynamik (SGEB) im SIA weilte zwei Tage im Schadengebiet, um sich vor Ort einen Überblick über die Erdbebenschäden zu verschaffen und anhand einzelner Fallstudien einen vertieften Einblick in das wirkliche Verhalten der Bauten bei einem Erdbeben zu erlangen. Die Erkundungsmission diente vor allem der Ausbildung junger Erdbebeningenieure.

1. Schadenübersicht

Am 26. September 1997 wurde die Region Umbrien-Marken in Italien von zwei mittelstarken Erdbeben erschüttert, die einen ungewöhnlich hohen Personen- und Sachschaden anrichteten. Die beiden Erdbeben forderten 11 Todesopfer, 126 Menschen wurden verletzt und 23'000 wurden obdachlos. Über 100'000 Menschen verliessen aus Angst ihr Zuhause und verbrachten in der Folge die Nächte in Armeezelten, Wohnwagen oder in ihren Autos. Insgesamt wurden 90'000 Gebäude beschädigt, die meisten davon nur leicht. Vor allem ältere Gebäude und historische Bauten von unschätzbarem kulturellen Wert, wie z.B. die Franziskus-Basilika von Assisi, waren betroffen. Vereinzelt wurden auch Schäden an Stromleitungen, Industriebauten sowie an Eisenbahnlinien verzeichnet. Nach ersten Schätzungen erreicht der gesamte volkswirtschaftliche Schaden über 2 Milliarden Franken, davon ist weniger als 5 % versichert.

2. Seismologische Aspekte

Die Erdbebenserie begann am 26.9.1997 um 2.33 Uhr frühmorgens mit einem Stoss der Magnitude 5.5 auf der Richterskala. Das Epizentrum lag in der Gegend von Colfiorito (Bild 1). Gut neun Stunden später um 11.40 Uhr ereignete sich etwas südlich davon ein noch stärkerer Stoss mit einer Magnitude von 5.8. Während den ersten Wochen nach den Hauptstössen vom 26.9.1997 blieb die Gegend seismisch überaus aktiv. Mehrere hundert Nachbeben, von denen etliche weitere Schäden anrichteten, konnten registriert werden. Tabelle 1 gibt eine Übersicht über die registrierten Beben mit einer Magnitude ≥ 4.0 und der zugehörigen MCS-Intensität.

Die beobachteten Intensitäten für den Hauptstoss $M_1=5.8$ sind in Bild 1 bezogen auf die in Italien gebräuchliche MCS-Skala (Mercalli-Cancani-Sieberg, 1930) dargestellt. Die Umrechnung in die in der Schweiz verwendete MSK-Skala (Medvedev-Sponheuer-Karnik, 1964) kann nach Tabelle 2 erfolgen. Die MSK-Intensitäten sind für den Bereich der Intensitätskarte von Bild 1 einen Punkt kleiner als die angegebenen MCS-Intensitäten. Beim Umrechnen ist ferner zu berücksichtigen, dass die MCS-Intensitäten aufgrund der grossen Verletzlichkeit der vorherrschenden älteren Bausubstanz eher hoch sind. Im engeren Epizentralgebiet (Bild 1) wurde folglich eine MSK-Intensität von VII bis VIII erreicht, was etwa dem Bemessungsbeben der Zone 2 nach der Norm SIA 160 entspricht.

Nach einer neuen probabilistischen Erdbebengefährdungskarte (Bild 2) liegt das Hauptschadengebiet nördlich einer stark gefährdeten Zone zwischen Perugia und L'Aquila. Bild 2 gibt die zu erwartenden Spitzenbodenbeschleunigungen (Peak Ground Acceleration PGA) in g für

Datum	Zeit	Magnitude	MCS-Intensität
26.9.1997	02.33	$M_L=5.5$	VIII
26.9.1997	11.40	$M_L=5.8$	VIII-IX
26.9.1997	11.46	$M_L=4.7$	VII
26.9.1997	15.31	$M_D=4.1$	V-VI
27.9.1997	10.08	$M_D=4.0$	V
27.9.1997	21.56	$M_D=4.0$	V
28.9.1997	13.24	$M_D=4.0$	V-VI
2.10.1997	13.00	$M_D=4.0$	V-VI
3.10.1997	10.55	$M_D=4.8$	VII
4.10.1997	08.50	$M_D=4.0$	V-VI
4.10.1997	17.07	$M_D=4.1$	V-VI
4.10.1997	18.13	$M_D=4.3$	VI
4.10.1997	20.47	$M_D=4.0$	V-VI
7.10.1997	01.24	$M_L=5.3$	VII-VIII
7.10.1997	07.09	$M_D=4.1$	V-VI
12.10.1997	13.08	$M_D=4.5$	VI-VII
14.10.1997	17.23	$M_L=5.4$	VII-VIII
16.10.1997	00.53	$M_D=4.0$	V-VI
16.10.1997	06.53	$M_D=4.1$	V-VI
16.10.1997	14.00	$M_D=4.1$	V-VI
19.10.1997	18.00	$M_D=4.1$	V-VI
20.10.1997	03.28	$M_D=4.0$	V-VI

Tabelle 1: Das Erdbeben vom 26.9.97 und Nachbeben mit Magnitude ≥ 4.0 (Stand: 20.10.97) [ING 97a]

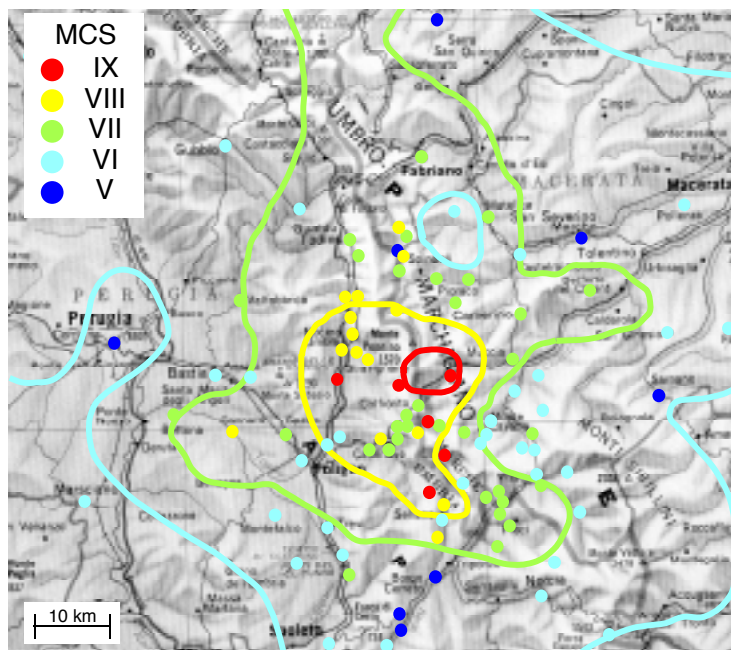


Bild 1: Intensitätskarte bezogen auf die MCS -Skala (Mercalli-Cancani-Sieberg für den Hauptstoss $M_L=5.8$ vom 26.9.1997 um 11.40 [ING 97b]

Skala	Intensitätsgrade											
MCS	II	III	IV	V	VI	VII	VIII	IX	X	XI	XII	
MSK	I	II	III	IV	V	VI	VII	VIII	IX	X	XI	XII

Tabelle 2: Vergleich zwischen die MCS und die MSK Intensitätsskala [Smi 96]

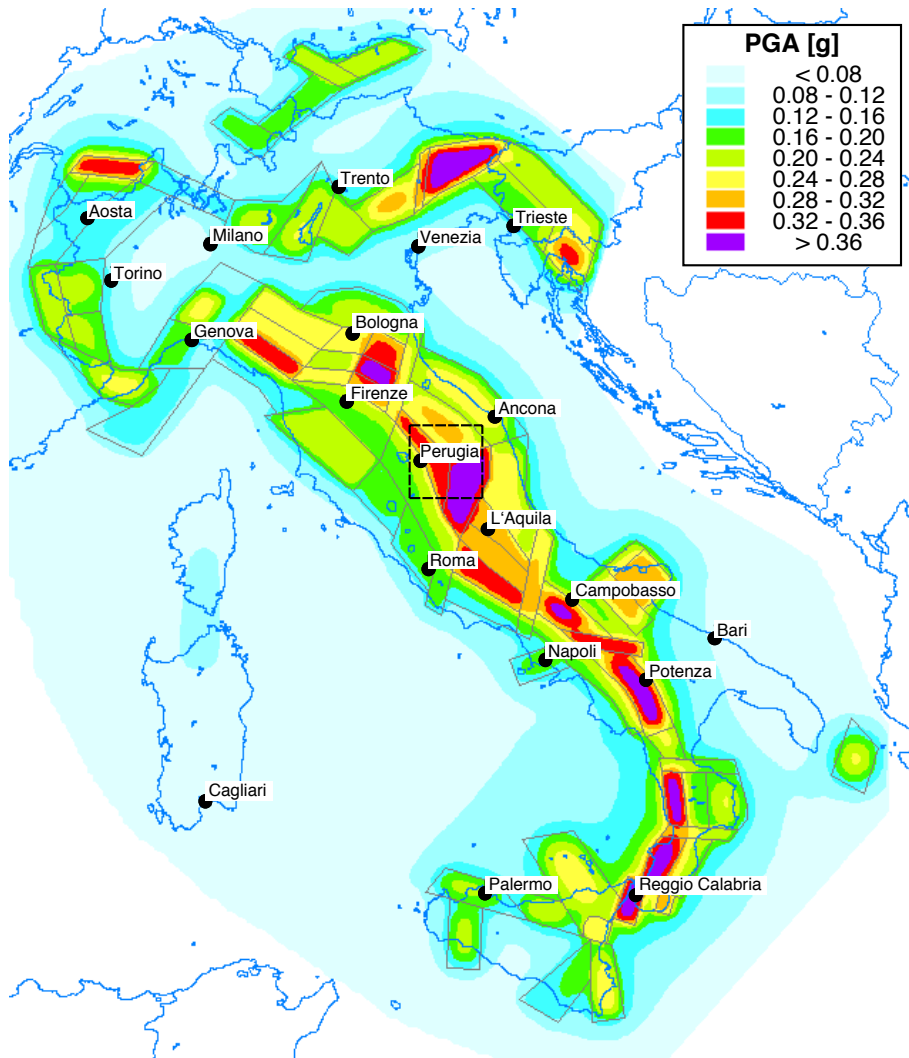


Bild 2: Erdbebengefährdungskarte von Italien mit Spitzenbodenbeschleunigungen (PGA) für eine Wiederkehrperiode von 475 Jahren [Sle 96]

eine Wiederkehrperiode von 475 Jahren, entsprechend einer Auftretenswahrscheinlichkeit von 10% in 50 Jahren [Sle 96]. Nach dieser Karte ist die Erdbebengefährdung des Wallis ist vergleichbar mit dem italienischen Erdbebengebiet, für beide Regionen beträgt der probabilistische Wert der Spitzenbodenbeschleunigung etwa 30% g (Bild 2). Der Kartenausschnitt des Hauptschadengebietes von Bild 1 ist in Bild 2 gestrichelt eingezeichnet.

Bedeutende historische Erdbeben mit einer MCS-Intensität \geq IX sind in Tabelle 3 zusammengestellt [Cas 97]. Seit 200 Jahren haben sich im Schadengebiet keine starken Erdbeben mehr ereignet. In jüngster Zeit wurde im Jahre 1979 ein schwächeres Erdbeben mit einer MCS-Intensität bis zu VIII registriert.

Datum	MCS-Intensität
1279	X
1328	X
1703	X
1719	IX
1741	X
1747	IX
1791	IX

Tabelle 3: Bedeutende historische Erdbeben in der gleichen Region in Umbrien und Marken mit MCS-Intensität \geq IX [Cas 97]

3. Geotechnische Aspekte

Das Hauptschadengebiet liegt im Apennin in Mittelitalien, einem typischen Erdbebengebiet, das sich entlang der Plattengrenze zwischen eurasischer und nordafrikanischer Platte erstreckt. Die Region östlich von Foligno kann als Flyschgebiet bezeichnet werden. Vorherrschend sind Kalkstein, mergeliger Kalkstein und Mergel. Ab einer Magnitude von 5.0 ist zwar erfahrungsgemäss mit Felssackungen, Erdrutschen und Rissen im Boden zu rechnen, es wurden jedoch keine ausgedehnten Rutschungen, Geländeverformungen oder Bodenverflüssigung beobachtet. Eines der wenigen Beispiele ist ein ca. 200 m langer Riss in einer entlang der Talflanke steil ansteigenden Schotterstrasse oberhalb Bagnara, welche für Transporte einer Kalkfabrik täglich von mehreren schweren Lastwagen frequentiert wird. Bild 3 zeigt einen Detailausschnitt dieses



Bild 3: Bodenriss in Schotterstrasse

Bodenrisses mit einem Sackmesser zum Grössenvergleich. Gemäss [UR 97] wurden an den bestehenden Costa-Cesi- und Monte-il-Castello-Monte-Tolagna-Kalkstein-Verwerfungen Ver-

schiebungen von 3-7 cm gemessen. Eine Erklärung für die nicht eingetretenen ausgedehnten Geländeverschiebungen ist sicher die vor dem Beben vorherrschende Trockenheit.

4. Schäden an historischen Gebäuden

Die weitaus grössten Schäden entstanden an älteren Bauten, darunter auch kulturhistorisch sehr wertvollen Gebäude, während neuere Bauten oft beinahe unversehrt blieben. Der beobachtete Schadengrad älterer Bausubstanz war nicht nur vom geographischen Standort der Gemeinde abhängig, sondern variierte auch sehr stark innerhalb einzelner Ortschaften. So betrug z.B die MCS-Intensität im unteren Teil des Ferienortes Cesi, welches südlich vom Epizentrum liegt, ca. IX, während im oberen Teil die Intensität mindestens zwei Stufen tiefer lag. Total zerstörte Häuser (Bild 4) aus spröden Mauerwerk und solche mit geringen Schäden (zerstörte Ka-



Bild 4: Eingestürztes älteres Bauernhaus

mine, Risse in Wänden) konnten wenige Meter auseinander stehen. Ohne aufwendige Detailstudien ist es nicht möglich abzuklären, ob die auf kleinstem Raum beobachteten grossen Schadenunterschiede der unterschiedlichen Verletzlichkeit der Bausubstanz oder den unterschiedlichen lokalen Baugrundverhältnissen zuzuordnen sind.

Eine ähnliche Problematik stellte sich bei den kulturhistorisch wertvollen Gebäuden, welche zum Teil weiträumig abgesperrt waren. In Assisi wurden an drei verschiedenen Standorten - am Fusse des Hügels, in der Mitte der Flanke und im Keller der Franziskus-Kathedrale - Messungen zur Bestimmung der lokalen Amplifikation während den auftretenden Nachbeben durchgeführt [MMT 97]. Die Messungen zeigen eine starke Amplifikation im Bereich von 0.1 Hz und 1 Hz für den Standort der Kathedrale.

5. Schäden an neueren Gebäuden

Neuere Gebäude sind nur vereinzelt stärker beschädigt worden. Dies ist in erster Linie darauf zurückzuführen, dass einerseits die neueren Gebäude zum Teil auf Erdbeben bemessen waren, andererseits ihr Anteil an der gesamten Bausubstanz relativ gering war. Einige interessante Beobachtungen von einzelnen Schadenfällen konnten im Dorf Bagnara bei Nocera Umbra gemacht werden, wo eng nebeneinander unbeschädigte auf Erdbeben ausgelegte Neubauten, unbeschädigte nach dem letzten Erdbeben vor zehn Jahren verstärkte Bauten, beschädigte nicht

Erdbeben ausgelegte Bauten aus den letzten 30 Jahren sowie eine stark beschädigte mittelalterliche Kapelle vorgefunden wurden (Bilder 5, 6 und 7). Bild 5 zeigt ein Hotel mit Restaurant



Bild 5: Hotel mit Restaurant: grobe X-förmige Risse in den kurzen Natursteinwänden im Erdgeschoss

Baujahr 1960. Im Erdgeschoss sind die kurzen Wände aus Natursteinmauerwerk zwischen Tür- und Fensteröffnungen durch X-förmige Risse stark beschädigt worden. Immerhin blieben die Gläser auf den gedeckten Mittagstischen im Restaurant stehen, ein Hinweis darauf, dass die Bodenbewegung nur mittelstark war. Ein knapp 10 Jahre altes Einfamilienhaus, das ohne Erdbebenbemessung erstellt worden war, wurde um eine grosse Fensteröffnung und am Dach beschädigt (Bild 6). Bei einem Einfamilienhausneubau mit Stahlbetonrahmentragwerk fiel die Mauerwerksausfachung heraus (Bild 7).



Bild 6: Einfamilienhaus mit groben Rissen um grosse Fensteröffnung

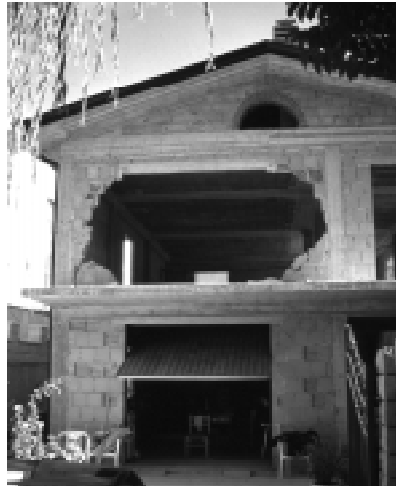


Bild 7: Herausgefallenen Mauerwerksausfachung eines Einfamilienhausneubaus

Besonders aufgefallen war die Tatsache, dass sich die Schäden in erster Linie auf den mittleren Bereich des Tales konzentrierten. An den Talflanken waren die Schäden eindeutig geringer. Da keine Starkbebenmessresultate vorliegen, lässt sich vermuten, dass es sich dabei um einen typischen Standorteinfluss handelt. Die Bodenbewegung muss gerade bei den alluvialen Schichtdicken in Talmitte besonders im Bereich der Bauwerksfrequenzen niedriger Gebäude aufgeschaukelt worden sein. Zusätzlich konnte man feststellen, dass die Schäden an Tragelementen in Tallängsrichtung systematisch stärker ausgefallen sind als in Talquerrichtung.

6. Schäden an Industrieanlagen

Am Dorfausgang von Bagnara befindet sich eine grössere Kalkfabrik. Infolge Stromausfall



Bild 8: Ältere Lagerhalle mit teilweise eingestürztem Dach

des Versorgungsnetzes ruhte die Produktion insgesamt vier Tage, davon fielen glücklicherweise zwei Tage aufs Wochenende. Bauwerksschäden traten nur an den älteren, nicht erdbebensicheren Bauten auf. Die Dachkonstruktion einer älteren Lagerhalle, eng nebeneinanderliegende unterspannte Stahlbetonbögen, stürzten teilweise ein (Bild 8). Die ganze Halle musste wegen

akuter Einsturzgefahr abgesperrt werden. Die neueren Gebäude erlitten höchstens geringfügige Schäden, die die Produktion nicht behinderten. Die Produktionsanlagen sind zur Reduktion maschineninduzierter Schwingungen auf Schwingungsisolatoren gelagert, die sich auch positiv auf das Erdbebenverhalten auswirkten.

7. Schäden an neuer Strassenbrücke

Ein interessantes Schadenbild einer Balkenbrücke mit fester Lagerung in Längsrichtung konnte beim Viadotto Traone der Staatsstrasse Nr. 3 in der Nähe der Ortschaft Nocera Scalo zwischen Foligno und Nocera Umbra beobachtet werden (Bild 9). Die Brücke wurde erst vor kurzem



Bild 9: Strassenbrücke Traone von der Widerlagerseite Foligno aus gesehen.

zum fertiggestellt und ist noch nicht in Betrieb. Es handelt sich um eine 657 m lange Verbundbrücke ausgebildet als Durchlaufträger über 12 Felder mit einer Regelspannweite von 54 m. Die ersten 4 Felder Seite Foligno liegen in einer leichten Kurve. Der Querschnitt des Brückenträgers ist in Bild 10a schematisch dargestellt. Die Fahrbahnplatte ist 12,05 m breit und besteht aus vorfabrizierten Betonelementen. Auf Höhe des Ober- und des Unterflansches der beiden Längsträger ist je ein horizontaler Windverband angeordnet.

7.1 Lagerung in Brückenlängsrichtung

In Längsrichtung wird der ganze Brückenträger von 657 m Länge durch ein besonderes Horizontalkraftlager auf dem Widerlager Seite Foligno stabilisiert (Bild 10). Alle Neotopflager auf den Stützen und den beiden Widerlagern sind längsverschieblich ausgebildet. Massgebend für die Bemessung dieses Horizontalkraftlagers waren die Erdbebenkräfte in Brückenlängsrichtung. Es besteht aus zwei je mit 4 schlaffen Stahlstangen $\varnothing 50$ mm versehenen Ankerplatten, die den unteren Fachwerkstab des Endquerträgers, eingebettet zwischen Gummipuffern, gegen das Widerlager zurückhalten (Bild 10b und 10c). Diese schlaffen Stahlstangen $\varnothing 50$ mm sind in einer an die Widerlagerrückwand anbetonierte Stahlbetonscheibe von 40 cm Dicke verankert (Bild 10c). Die Stahlbetonscheibe wiederum ist stark bewehrt und mit 12 Dywidag Stangen $\varnothing 36$ mm im Widerlager rückverankert.

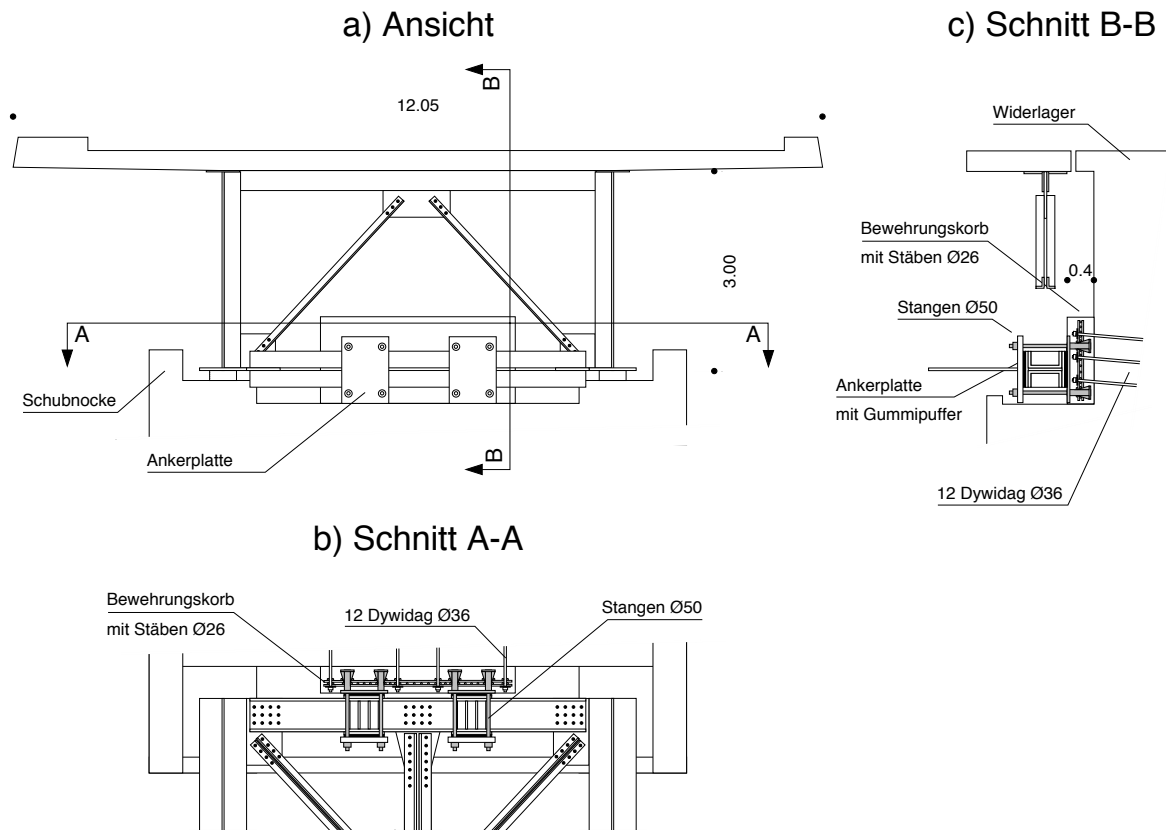


Bild 10: Skizze der festen Verankerung für Horizontalkräfte in Brückenlängsrichtung auf Widerlagerseite Foligno

7.2 Lagerung in Brückenquerrichtung

Von den zwei Neotopflägern pro Stütze und Widerlager sind die Lager auf der einen Brückenseite jeweils allseitig verschieblich, auf der anderen Brückenseite hingegen nur in Längsrichtung verschieblich. Die Horizontalkräfte werden folglich in Querrichtung durch je ein Neotopflager pro Stütze und pro Widerlager abgetragen. Zusätzlich sind sowohl bei den Stützen als auch bei den Widerlagern seitliche Schubnocken vorgesehen, die über den Unterflansch der Längsträger hinausreichen (Bild 10a). Diese Schubnocken sollen im Erdbebenfall den seitlichen Absturz des Brückenträgers verhindern.

7.3 Beobachtete Schäden

Unter der Wirkung des Erdbebens wurde die oben erwähnte Stahlbetonscheibe des Horizontalkraftlagers stark beschädigt (Bild 11). Der Brückenträger bewegte sich in der Folge ein paar Zentimeter vom Widerlager weg. Über den ersten Stützen Seite Foligno lag der Brückenträger nicht mehr zentrisch auf den Stützen, sondern er schlug fast an den Schubnocken auf der Kurvenaussenseite an. Beide Beobachtungen deuten darauf hin, dass sich der Brückenträger etwas vom festen Widerlager weg und auf die Kurvenaussenseite hin bewegt hat. Leider sind keine Messwerte der während des Erdbebens aufgetretenen Beschleunigungen in der Nähe der Brücke vorhanden. Aufgrund des Schadenbildes der Häuser unmittelbar neben der Brücke, wo einige Dächer einstürzten, und zwei Häuser kurz vor dem Totaleinsturz stehen, kann man davon ausgehen, dass die Gegend um die Brücke vom Erdbeben relativ stark betroffen wurde.



Bild 11: Beschädigte Stahlbetonscheibe des Horizontalkraftlagers n Brückenlängsrichtung auf Widerlagerseite Foligno. Blickrichtung wie in Bild 10c.

Vermutlich ist jedoch das Bemessungsbeben dieser neuen Brücke nicht erreicht worden. Es zeigt sich in diesem Fall deutlich, dass bei fester Lagerung auch schon bei kleinen Beben sehr grosse Kräfte auftreten können, die konstruktiv schwierig aufzunehmen sind [SB 89].

8. Erdbebennormen

Nach dem Erdbeben von Messina in Sizilien im Jahre 1908 sind in Italien erstmals Erdbebenbestimmungen erlassen worden. Die heute gültigen Normen aus dem Jahre 1986 teilen Italien in drei Zonen von niedriger, mittlerer und hoher Seismizität ein. Die Region Umbrien-Marken liegt in der mittleren Zone, wo ein seismischer Koeffizient von 7% g vorgeschrieben ist. Die Erdbebenbemessung gewöhnlicher Stahl- und Stahlbetongebäude erfolgt nach dem Ersatzkraftverfahren mit Nachweisen nach der Methode der zulässigen Spannungen ohne Duktilitätsfaktoren, bei Gebäuden aus Mauerwerk hingegen werden keine rechnerischen Nachweise verlangt, sondern es sind konzeptionelle und konstruktive Massnahmen zu beachten [BG 94]. Die letzte Fassung vom Januar 1996 dieser Normen sieht neu für Stahl- und Stahlbetongebäude auch einen Nachweis der Grenzzustände der Tragfähigkeit vor, in diesem Fall ist die Erdbebeneinwirkung mit einem Faktor 1.5 zu multiplizieren. Die in der Region Umbrien-Marken zu berücksichtigende Erdbebeneinwirkung ist ungefähr vergleichbar mit der Zone 3a nach Norm SIA 160 in der Schweiz.

9. Literatur

- [BG 94] Benzoni G., Gentile C.: Italy. International Handbook of Earthquake Engineering: Codes, Programs and Examples, Paz M. (Hrsg.). Chapman & Hall, New York 1994
- [Cas 97] Castelli V.: Principali terremoti storici dell'area umbro-marchigiana. Gruppo Nazionale per la Difesa dai Terremoti, Roma 1997.
URL: <http://emidius.itim.mi.cnr.it/GNDT/T19970926/schede1279-1879.html>

- [MMT 97] Mucciarelli M., Monachesi G., Troiani L.: Effetti di sito e danni . Gruppo Nazionale per la Difesa dai Terremoti, Roma 1997.
URL: <http://www.geofisico.wnt.it/lastnews/970926/NAKADA.html>
- [SB 89] Somaini D., Bachmann H.: Erdbebenverhalten von Balkenbrücken mit fester Lagerung in Längsrichtung. Bericht Nr. 171, Institut für Baustatik und Konstruktion, ETH Zürich. Birkhäuser Verlag, Basel, 1989.
- [Sle 96] Slejko D.: Pericolosità Sisimica del territorio Nazionale. Documento consegnato al Sottosegretario per il coordinamento della protezione civile il 15.07.1996.
URL: <http://emidius.itim.mi.cnr.it/GNDT/PS.html#PERICOLOSITA>
- [Smi 96] Smit P.: Datenerfassung und Bestimmung der Abminderung der Bodenbewegung bei Erdbeben in der Schweiz. ISBM 3-260-05402-2. Publikation No. 108, Schweizerischer Erdbebendienst, ETH Zürich. Juris Druck+Verlag AG, Dietikon 1996
- [UR 97] Unità di ricerca ANPA-Roma, UNI Camerino: Effetti sul terreno della crisi sismica del 26 settembre 1997. Evidenze di fagliazione superficiale. Gruppo Nazionale per la Difesa dai Terremoti, Roma 1997.
URL: <http://emidius.itim.mi.cnr.it/GNDT/T19970926/faglie.html>
- [ING 97a] Istituto Nazionale di Geofisica: Elenco degli eventi sismici dalle ore 02:33 del 26.9.97, Roma 1997.
URL: <http://io.ingrm.it/rms/elenco.html>
- [ING 97b] Istituto Nazionale di Geofisica: Campo macrosismico ed isosisme preliminari relativo ai comuni, Roma 1997.
URL: http://ing712.ingrm.it/data_www/Macros/26set/26seti.html

10. English Summary

The Italian Earthquake of September 26, 1997

On September 26th, 1997, two strong earthquakes of magnitude 5.8 and 5.5 shook the Umbria-Marche region in Central Italy. The main shocks were followed by a swarm of over 20 earthquakes with magnitudes between 4.0 and 5.4 in the subsequent weeks. 11 people were killed, 126 were injured and 23,000 were made homeless. Over 100,000 people fled their homes and temporarily lived in tents or mobile homes. Most of the damage was observed on older masonry buildings and on medieval monuments which were particularly vulnerable. The total damage is estimated at one billion US\$.

The reconnaissance report focuses mainly on damage to newer structures. In particular, a case study of a recently constructed highway bridge which suffered damage to the special seismic bearings is presented.

This earthquake is of great interest to Switzerland, the seismic hazard of the epicentral area being comparable to that of the highest Swiss seismic zone. The seismic action to be considered according to the current Italian earthquake specifications corresponds roughly to the intermediate Swiss seismic zone.

Dieser Bericht entstand im Rahmen einer Erkundungsmission der Schweizer Gesellschaft für Erdbebeningenieurwesen und Baudynamik (SGEB) in Zusammenarbeit mit der PartnerRe Group.

Adresse der Verfasser:

Thomas Wenk, dipl. Bau-Ing. ETH/SIA und Alessandro Dazio, dipl. Bau-Ing. ETH, Institut für Baustatik und Konstruktion, ETH Zürich, CH - 8093 Zürich.

Paul Hertelendy, dipl. Bau-Ing.ETH/SIA, PartnerRe Services, Weinplatz 10, 8022 Zürich

David Zimmerli, dipl. Bau-Ing. ETH, Studer Engineering, Thujastrasse 4, 8038 Zürich